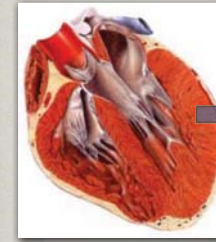


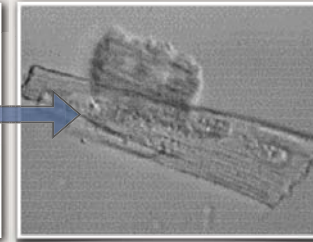
# DINAMIKUS FEHÉRJERENDSZEREK A SEJT BEN

KELLERMAYER MIKLÓS

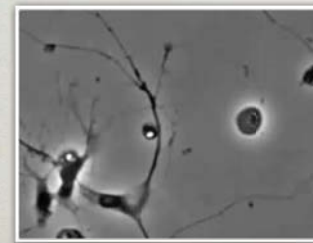
## BIOLÓGIAI MOZGÁSOK



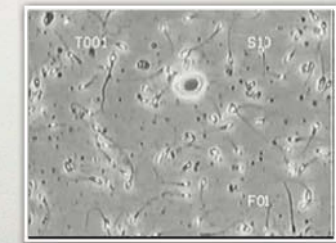
Ritmusosan összehúzódó szívizomsejt



Osztódó sejt

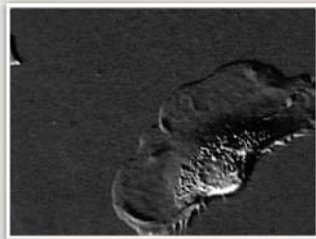


Axon (neurit) növekedés

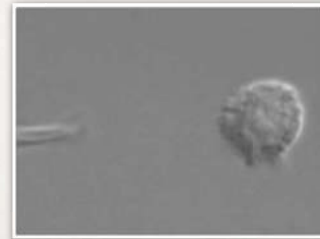


Mozgó spermaticiták

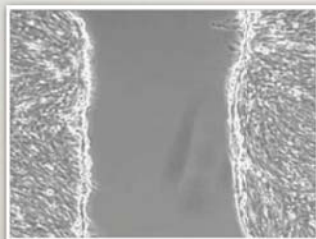
## BIOLÓGIAI MOZGÁSOK



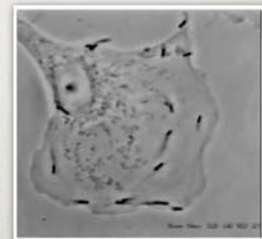
Tovakúszó keratinocita



Kemotaxis



Sebgyógyulás modell - fibroblasztok kollektív mozgása



Listeria baktériumok intracelluláris mozgása

## A citoszkeletális rendszer

Intracelluláris dinamikus fehérje vázrendszer

Három fő filamentum-osztály:

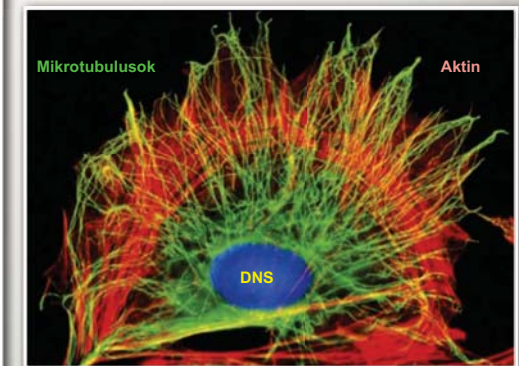
- A. Vékony (aktin)
- B. Intermediér
- C. Mikrotubulus

Filamentumok mechanikája fontos

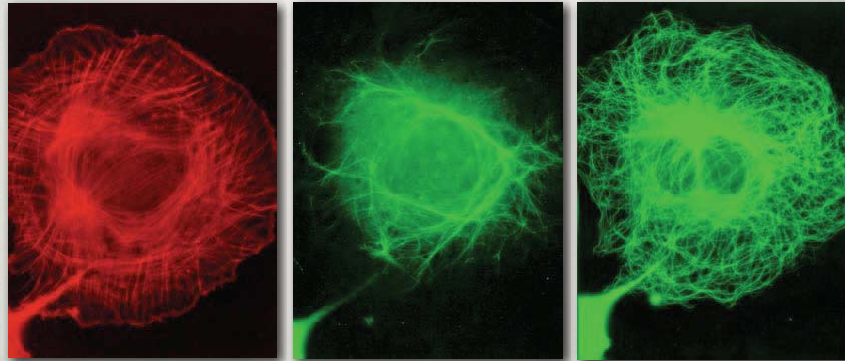
Polimerizáció: "okos téglá" alegységekből

Szerep:

- A. Mozgás, alakváltozás
- B. Sejtosztódás
- C. Intracelluláris transzport



# A citoszkeletális rendszer



Aktin  
(rodamin-phalloidin)

Vimentin  
(anti-vimentin)

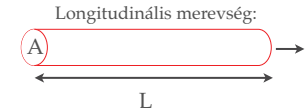
Mikrotubulusok  
(GFP-tubulin)

1. Mechanika
2. Polimerizáció

# A citoszkeletális filamentumok rugalmassága

## Hook-féle rugalmasság

- A rugó- (vagy merevségi) állandó ( $k=F/\Delta L$ ) nem anyagfüggő paraméter.
- A rugóállandó ( $k$ ) függ a test alakjaitól, az erő irányától,
- és azt mutatja meg, hogy egységnyi megnyúlást mekkora erő idéz elő.



$$\kappa = \frac{F}{\Delta L} = \frac{EA}{L}$$



$$\kappa = \frac{4\pi Er^4}{3L^3}$$

## "Termikus" rugalmasság

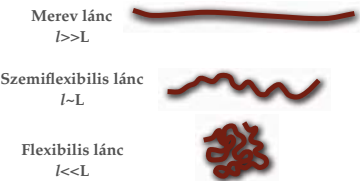
A polimerlánc átlagos alakja leírható egyszerű paraméterek segítségével:

$$\langle R^2 \rangle = 2L_p L$$

A perzisztenciahossz a lánc hajlítómerevségével áll összefüggésben: minél rövidebb  $L_p$ , annál hajlékonyabb a lánc, és megfordítva.

$$L_p = \frac{EI}{k_B T}$$

$EI$  = hajlítómerevség  
 $E$  = Young modulus  
 $I$  = hajlítási tehetetlenségi nyomaték (körkeresztmetszetű rúd esetében  $I = \pi r^4 / 4$ )  
 $k_B$  = Boltzmann állandó  
 $T$  = abszolút hőmérséklet.

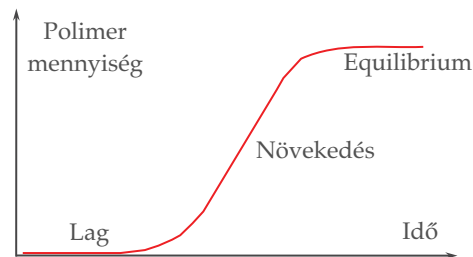


# Polimerizáció

## Alegységek összeállásának folyamata

### A polimerizáció fázisai:

1. Lag fázis: nukleáció
2. Növekedés fázisa
3. Equilibrium (egyensúly) fázisa



# Polimerizációs egyensúlyok

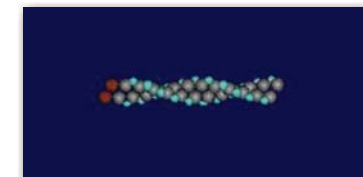
## 1. valódi equilibrium



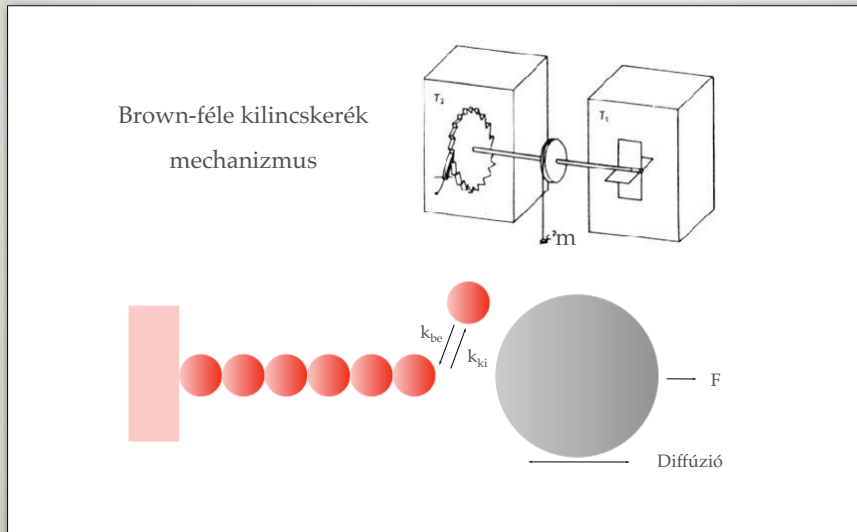
## 2. dinamikus instabilitás: folyamatos, lassú növekedést követő katasztrofikus depolimerizáció



## 3. Treadmilling: taposómalom



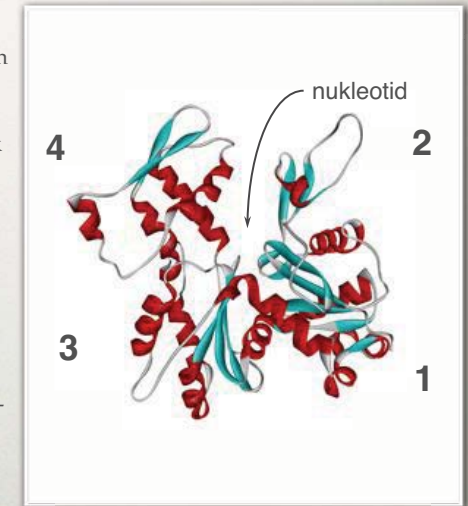
## Erőkifejtés citoskeletális filamentum polimerizációjával



## Az aktin monomer (G-aktin)

Az eukarióta sejtekben legnagyobb mennyiségben előforduló fehérje (az összfehérje 5%-a)  
 Koncentrációja a sejtben: 2-8 mg/ml (50-200  $\mu$ M)  
 [G-aktin oldat esetére ez 25 nm átlagot molekulák közötti távolságot jelent]

**Alegység:** globuláris (G-) aktin  
 MW: 43 kDa, 375 aminosav,  
 1 molekula kötött adenosin nukleotid (ATP vagy ADP)  
 Szubdomének (4)  
 Genetikai variabilitás: emlősökben 6 különböző aktin, három családban ( $\alpha$  izomeredetű,  $\beta$ ,  $\gamma$  nem-izomeredetű)



## Az aktin filamentum (F-aktin)

~7 nm vastag, hossza *in vitro* több 10  $\mu$ m, *in vivo* 1-2  $\mu$ m

Jobbmenetes dupla helix. Szerkezetileg polarizált

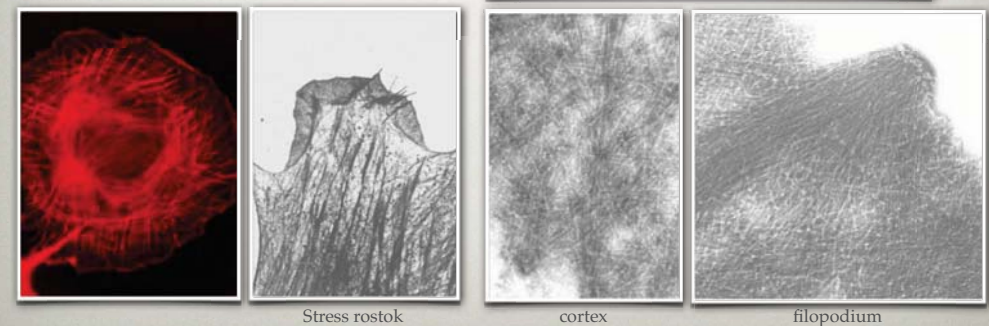
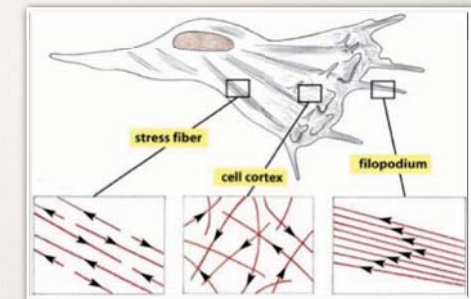
Szemiflexibilis polimerlánc (perzisztenciahossz: ~10  $\mu$ m)

Szerkezeti polarizáció ("szögcs", "hegyes" vég)

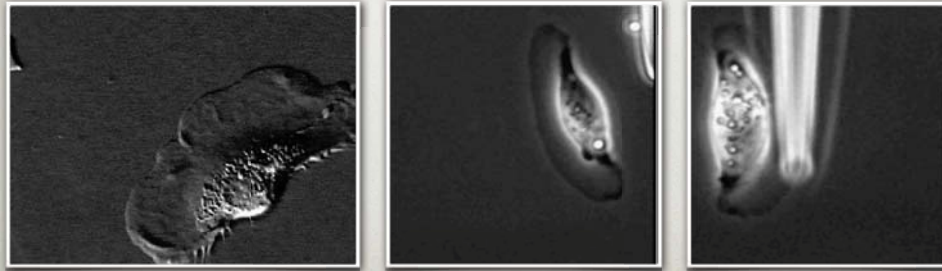
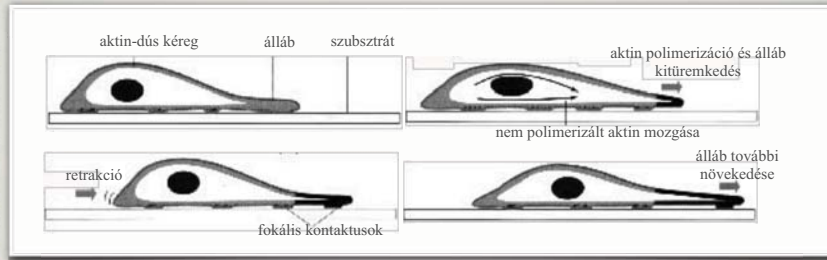
Aszimmetriás polimerizáció: ATP sapka

## Aktin a sejtben

cortex (a sejt pereme)  
 "stress" rostok,  
 sejtnyúlványok (lamellipodia, filopodia,  
 microspikes, focal contacts, invagináció)  
 mikrovillus



# Aktin-függő sejtmozgás



# Aktin-függő sejtmozgás megnyilvánulásai



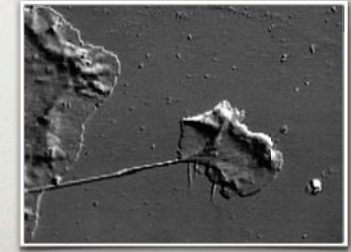
Retrográd áramlás



Filopodium képződési dinamika

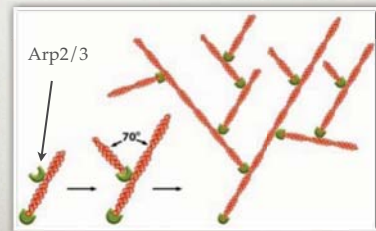
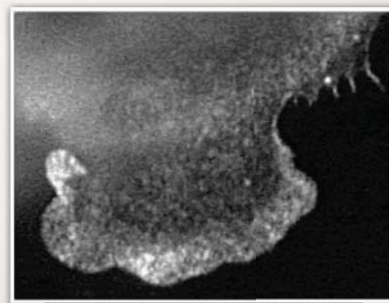
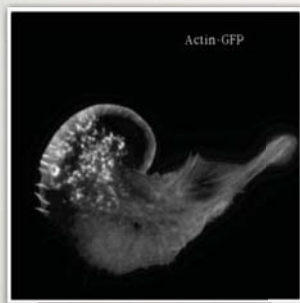


Citoplaszt (anukleáris sejtfagmentum) autonóm mozgása

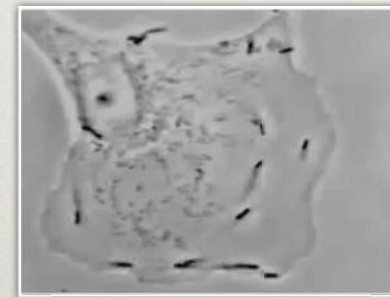


Membrán fodrozódás

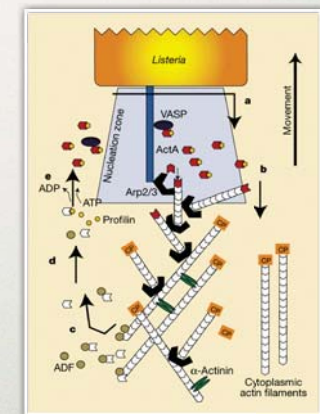
# Aktin dinamika a lamellipodiumban



# Intracelluláris patogének is kihasználják az aktin rendszert

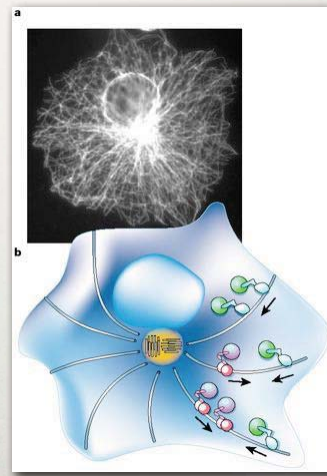
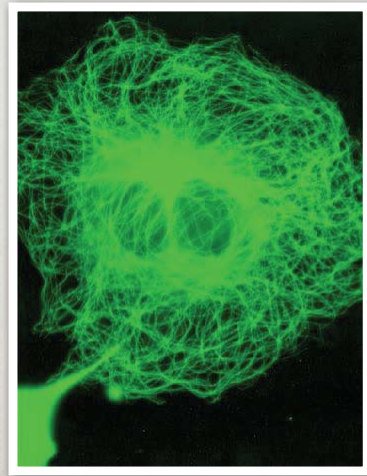


Listeria monocytogenes intracelluláris motilitása



# Mikrotubuláris rendszer

Eukarióta sejtek tubulinból és kapcsolódó fehérjékből álló rendszere.



# A mikrotubulusok építőköve: tubulin

**Alegység:** tubulin

Idegszövetben az összfehérje 10-20%-a

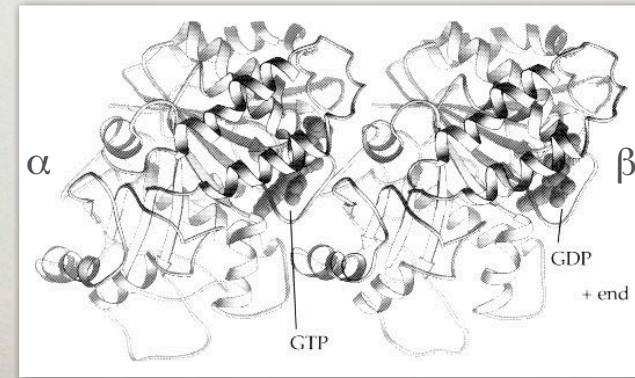
MW: ~50 kD:  $\alpha$ - és  $\beta$ -tubulin -> heterodimér

1 molekula kötött guanozin nukleotid (GTP vagy GDP);

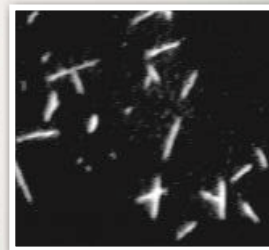
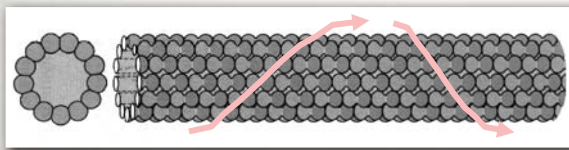
kicserélhető ( $\beta$ ), illetve nem kicserélhető ( $\alpha$ )

Szerkezeti polaritás

Genetikai variabilitás: legalább 6 különböző  $\alpha$  illetve  $\beta$  tubulin



# A mikrotubulus



~25 nm vastag, üreges

13 protofilamentum

jobbmenetes rövidmenetű helix

balmenetes hosszúmenetű helix

Merev polimerlánc (perzisztenciahossz: néhány mm!)

Szerkezeti polarizáció:

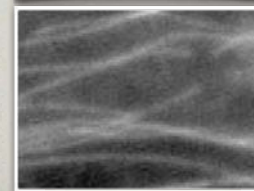
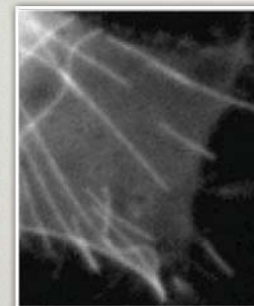
+vég: polimerizáció gyors,  $\beta$ -alegység által terminált

-vég: polimerizáció lassú,  $\alpha$ -alegység által terminált

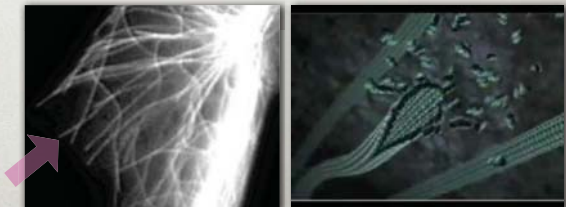
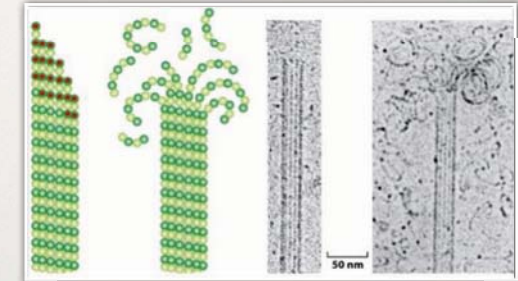
GTP-sapka

# Polimerizációs egyensúlyok mikrotubulusokban

Treadmilling



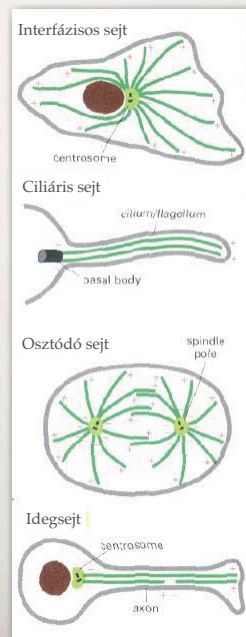
Dinamikus instabilitás



# Mikrotubuláris rendszer az eukarióta sejtben

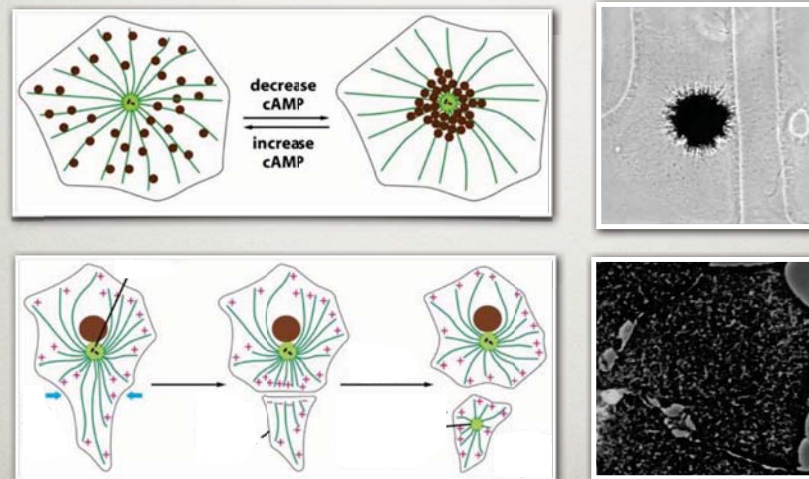
**Hol található az eukarióta sejtben?**  
interfázisos sejt cytoplasmája, axon, cilium, flagellum, osztódó sejt húzóorsója.

**Polaritás a sejtben belül**  
centrosomában -vég, a periférián +vég.  
Centrosoma: 2 centriolum, centrosoma matrix, benne  $\gamma$ -tubulin  
Sejt polaritás "fixálása" MT asszociált fehérjék (capping protein) segítségével.



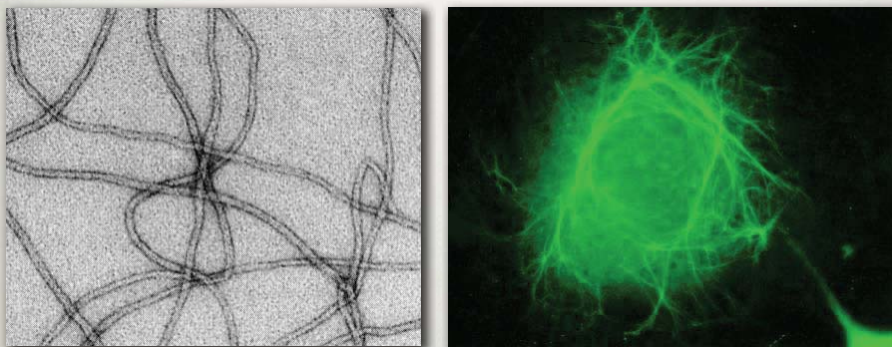
# Mikrotubuláris rendszer funkciói

1. Autópályák motorfehérjék számára
2. Érzékeli, monitorozza és megtalálja a sejt geometriai középpontját
3. Motilitási funkciók (sejtosztódás)



# Intermediér filamentális rendszer

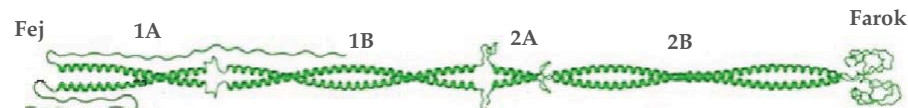
8-10 nm átmérőjű szövetspecifikus, filamentális fehérjerendszer, mely a legtöbb (de nem minden) állati sejtben megtalálható.  
Alapvető szerep: mechanikai ellenállás biztosítása



Vimentin, Vic Small

# Intermediér filamentum építőkövek

Intermediér filamentum dimer:

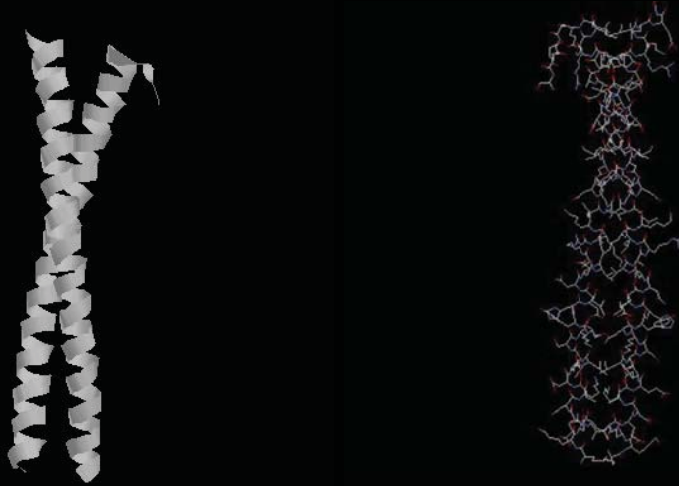


Tulajdonságok:

- Kémiai ellenálló (detergensek, magas ionerősség)
- Denaturáló szerekkel (pl. urea) extrahálható
- Fibrózus monomer (nem globuláris, mint az aktin vagy tubulin)
  - amino-terminális fej
  - centrális rúd ( $\alpha$ -hélix, heptád ismétlődés)
  - carboxy-terminális farok
- a szövetspecifikus monomerek egymástól a végeik szerkezetében különböznek

## Az intermedier filamentum alegysége: „coiled-coil” dimer

Heptád ismétlődés szerkezet, hidrofób aminosavak



Vimentin dimer szalagdiagramja

Vimentin dimer drótháló diagramja

## Intermedier filamentumok csoportosítása

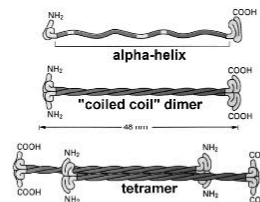
Szövetspecifititás alapján  
(Klasszikus csoportosítás)

Szövet típus	Intermedier filamentum
Epithelium	Keratinok
Izom	Dezmin
Mesenchyma	Vimentin
Glia	Gliális fibrillaris savanyú fehérje (GFAP)
Ideg	Neurofilamentum (NF-L, NF-M, NF-H)

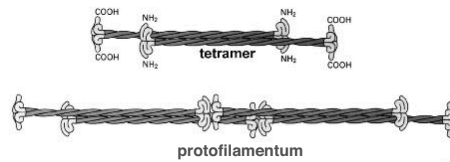
## Intermedier filamentumok polimerizációja

A sejten teljesen polimerizált állapotban  
(nem dinamikus egyensúly)

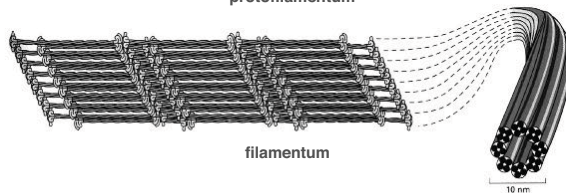
Centrális rudak ( $\alpha$ -hélix)  
hidrofób-hidrofób kölcsönhatása  
-> coiled-coil dimer



2 dimer -> tetramer  
(antiparallel elrendeződés,  
szerkezeti apolaritás)



Tetramerek longitudinális sorozata  
-> protofilamentum



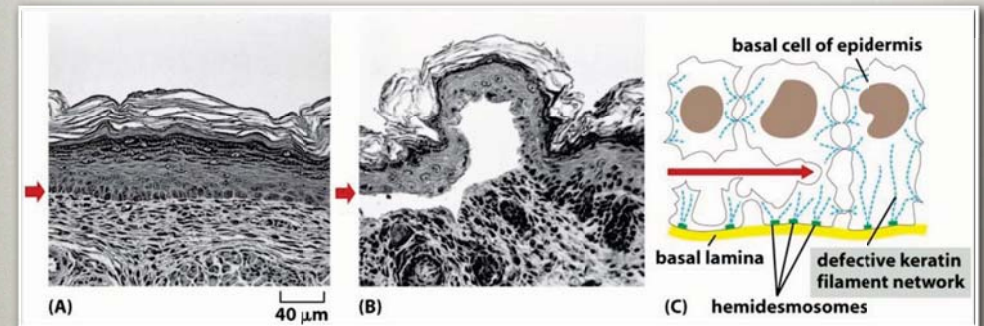
8 protofilamentum -> filamentum

## Intemedier filamentumok szöveti funkciói

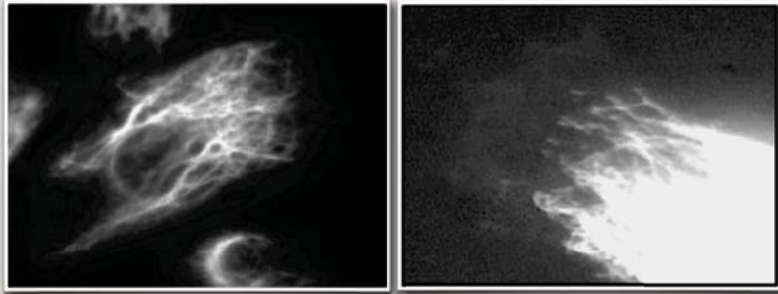
**Szöveti mechanikai stabilitás biztosítása**

Epiteliális (hám-) sejtekben:

-Pathologia: *epidermolysis bullosa simplex*. Mutáció a keratin génben.  
Enyhe mechanikai hatásra (pl. dörzsölés) fellépő hólyagos hámszétérés.



## Dinamikus vimentin átrendeződés az élő sejtben



GFP-konjugált vimentin 3T3 sejtben

Egyedi filamentum turnover

## MOTORFEHÉRJÉK

1. Specifikus filamentumhoz kapcsolódnak.
2. Elmozdulást és erőt generálnak.
3. Kémiai energiát használnak fel.

## A motorfehérjék típusai

### 1. Aktin alapú

**Miozinok:** Konvencionális (miozin II) és nem-konvencionális Miozin szuperfamilia (I-XXIV osztályok). Plusz vég irányába mozognak.

### 2. Mikrotubulus alapú

- Dineinek:** Ciliáris (flagelláris) és citoplazmáris dineinek. A mikrotubulus mentén a mínusz vég irányába mozognak.
- Kinezinok:** Kinezin szuperfamilia: konvencionális és nem-konvencionális. A mikrotubulus mentén a plusz vég irányába mozognak.
- Dinaminok:** MT-függő GTPáz aktivitás. Biológiai szerep: vakuoláris fehérjeválogatás (pinchase enzimek)?

### 3. DNS alapú mechanoenzimek

DNS és RNS polimerázok, vírus kapszid csomagoló motor, kondenzinek. A DNS fonal mentén haladnak és fejtenek ki erőt.

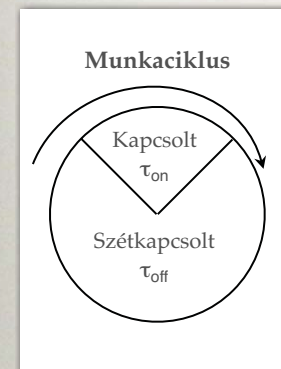
### 4. Rotációs motorok

F1F0-ATP szintetáz. Bakteriális flagelláris motor.

### 5. Mechanoenzim komplexek

Riboszóma

## Motorfehérjék munkaciklusa



“Duty ratio”:  $r = \frac{\delta V}{v}$   
 $\delta$ =munka- vagy lépéstávolság  
 $V$ =ATPáz sebesség  
 $v$ =motilitási sebesség

### Processzív motor: $r > 1$

Pl. kinezin, DNS-, RNS-polimeráz.  
 Munkaciklus nagy részében kapcsolt állapotban.  
 Egymaga képes a terhet továbbítani.

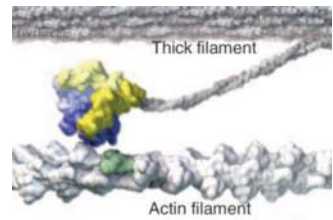
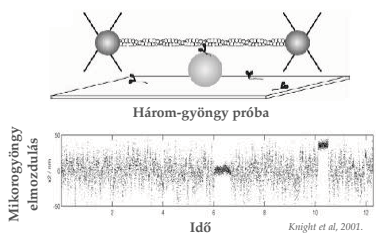
### Nonprocesszív motor: $r < 0$

Pl. miozin.  
 Munkaciklus nagy részében szétkapcsolt állapotban.  
 Sokaság működik együtt.

Egyetlen motorfehérje által kifejtett erő: néhány pN.

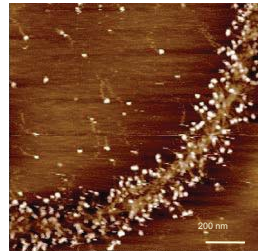
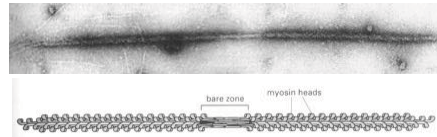
# NEM-PROCESSZÍV MOTORFEHÉRJÉK

## Miozin



Lépéstávolság: 5,5 nm  
(szomszédos aktin alegységek közötti távolság)

A nem-processzív motorok sokaságban dolgoznak.

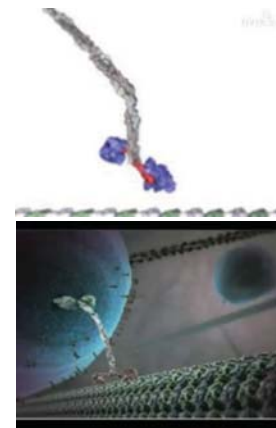


Szintetikus vastag filamentum AFM felvétel

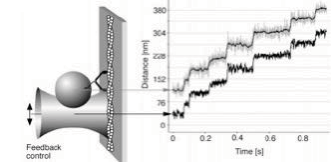
# PROCESSZÍV MOTORFEHÉRJÉK

## Kinezin

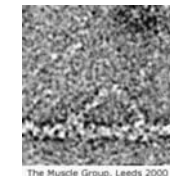
Lépéstávolság: 8 nm (minden második tubulin alegység közötti távolság)



## Miozin V

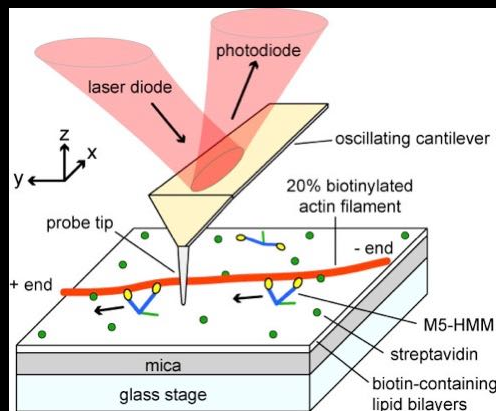


Lépéstávolság: ~36 nm nm  
(aktin filament hélix félmenet emelkedés)

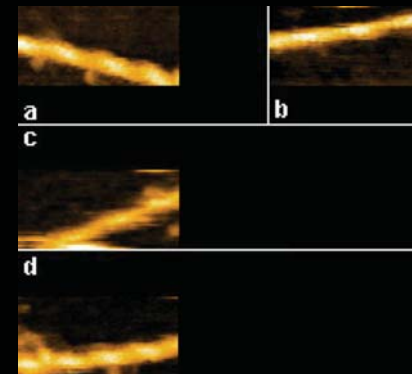


A processzív motorok egyedül dolgoznak.

# Ultragyors AFM mérések a miozin V-HMM molekulán



# Egyirányú processzív mozgás



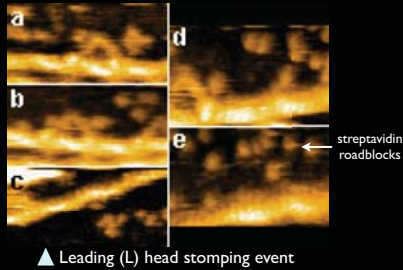
Stomping:  
• Rapid detachment-reattachment  
• ~5 nm translocation

▲ Trailing (T) head stomping event

▲ Leading (L) head stomping event

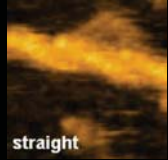
# Intramolekuláris változások

## Hand-over-hand stepping



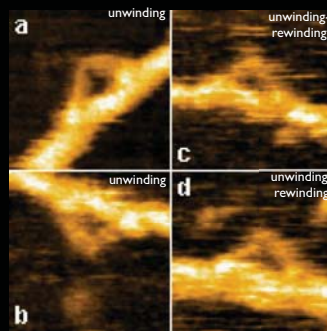
▲ Leading (L) head stomping event

## “Straight” - “sharp bend” transition



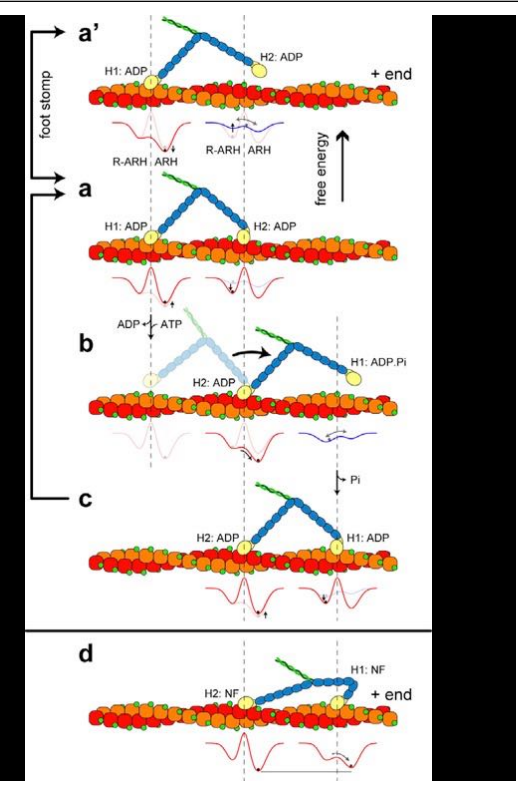
straight

## Coiled-coil tail unwinding



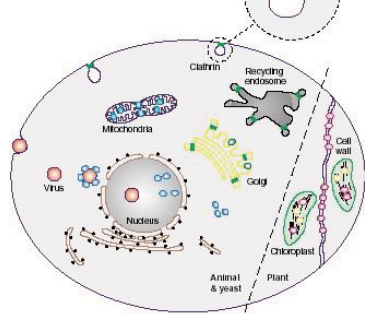
# Lépési mechanizmus

- a. Initial state, both heads in the ADP state.
- a'. Stomping, in equilibrium with the bound state.
- b. ADP release, ATP binding, trailing-head detachment, L-head swing (completion of power-stroke), T-head “rotational diffusion” ( $\rightarrow$ L-head), L-head in the ADP-P<sub>i</sub> pre-stroke state.
- c. L-head attachment, P<sub>i</sub> release, 36 nm advance.
- d. Sharp bend state, only in the nucleotide-free condition.

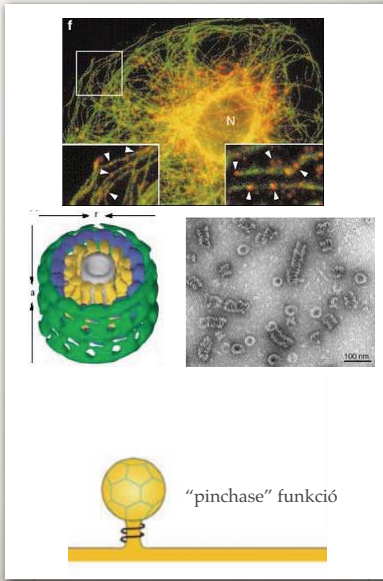


# Dinaminok

## Vakuoláris fehérjeválogatás GTPázok

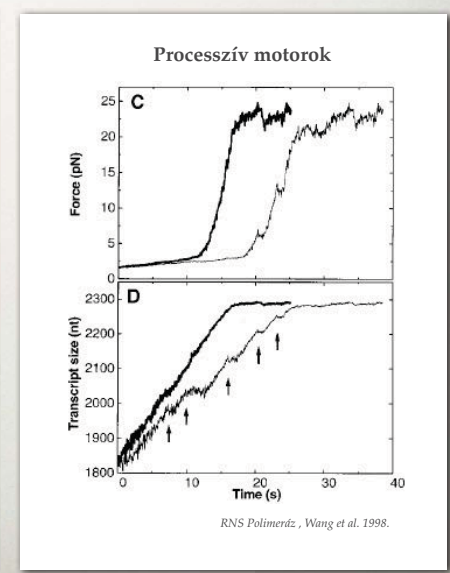
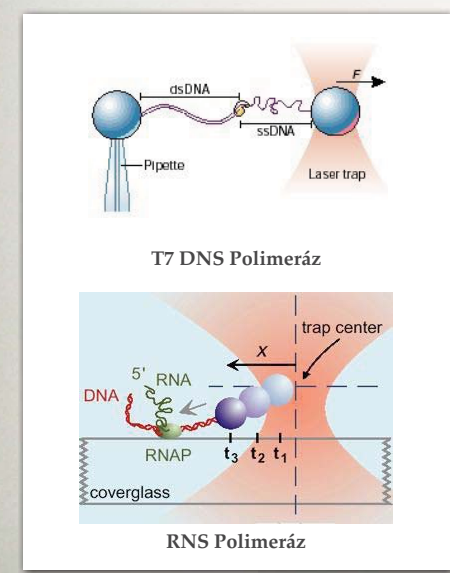


Protein	Localization	Function	Self-assembly
Dynamin	Plasma membrane (clathrin-coated cavities), Golgi, endosome	Vesicle formation, fission	-
Vps1	Golgi	Vesicle formation and transport	Unknown
Ovtn1/Ovtn1-CPN1	Mitochondria outer membrane	Mitochondrial fission & morphology	+
Mgm1/Mgm1-CPN1	Mitochondria inner or outer membrane, or matrix	Mitochondrial morphology	Unknown
Phragmoplastin	Cell wall	Membrane morphology	+
ADL1	Cell wall, chloroplast	Membrane biogenesis	+
AtGL1	Chloroplast	Unknown	Unknown
TOB1	Cytoplasm	Anti-viral activity	+
Mx	Cytoplasm, nucleus	Anti-viral activity	+



“pinchase” funkció

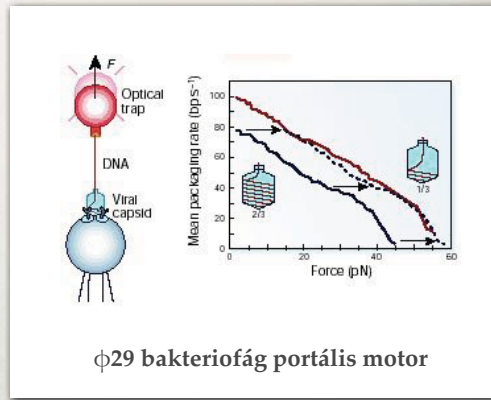
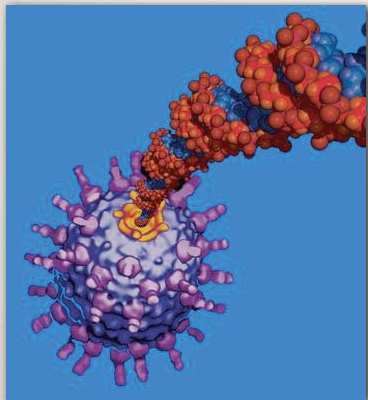
# DNS Motorok



RNS Polimeráz, Wang et al. 1998.

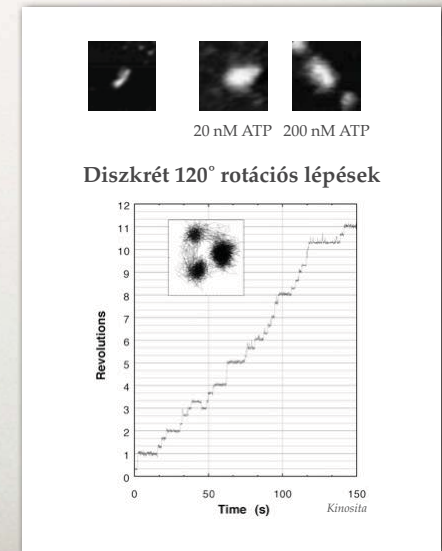
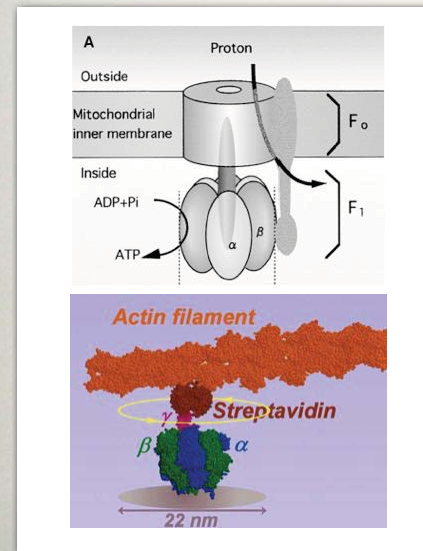
# Vírus portális motor

## Különleges DNS motor



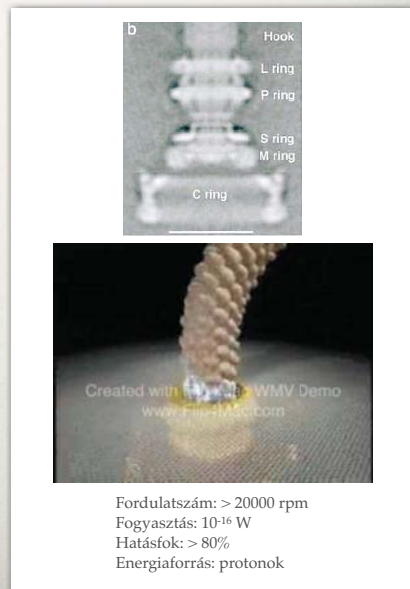
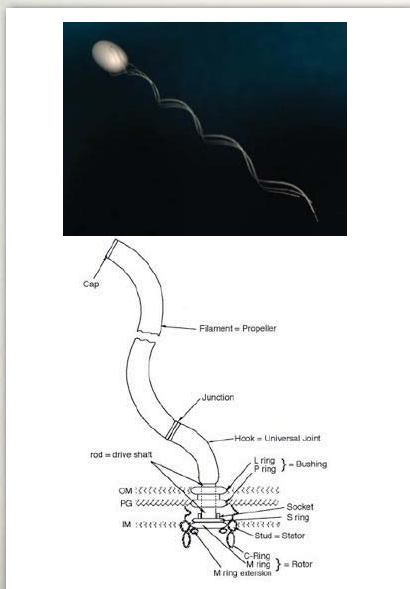
# ROTÁCIÓS MOTOROK I:

## F1F0-ATP SZINTETÁZ



# ROTÁCIÓS MOTOROK II:

## Bakteriális flagellum motor



# Mechanoenzim komplex

## Riboszóma

